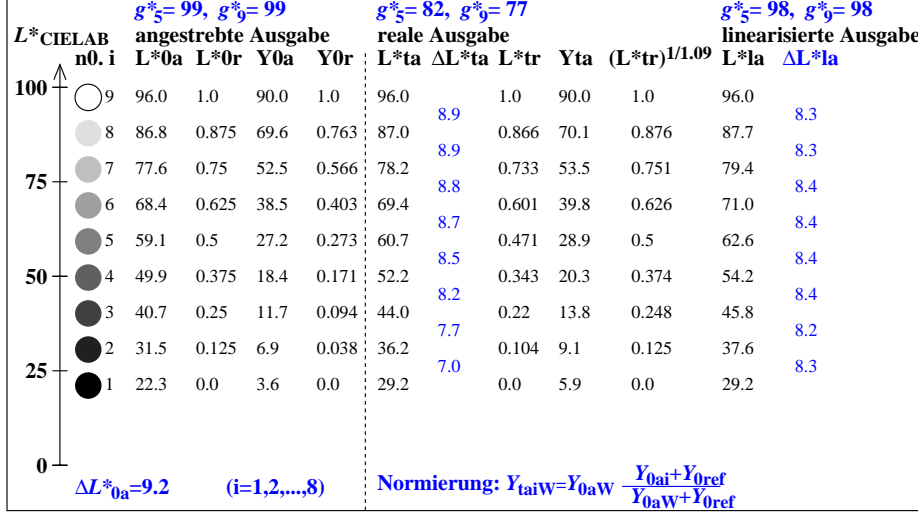


9stufige Grauskalierung zwischen  $L^*_{0aN}=22.3$  und  $L^*_{0aW}=95.9$ ,  $Y_{0ref}=2.5$ , Normierung Weiß W

$L^*_{0aN}=22.3$ ,  $L^*_{0aU}=59.1$ ,  $L^*_{0aW}=96.0$ ,  $Y_{0aN}=3.6$ ,  $Y_{0aU}=27.2$ ,  $Y_{0aW}=90.0$ ,  $C_{0aY}=Y_{0aW}:Y_{0aN}=25.0$   
 $L^*_{taN}=29.2$ ,  $L^*_{taU}=60.7$ ,  $L^*_{taW}=96.0$ ,  $Y_{taN}=5.9$ ,  $Y_{taU}=28.9$ ,  $Y_{taW}=90.0$ ,  $C_{taY}=Y_{taW}:Y_{taN}=15.2$

Regularitätsindex nach ISO/IEC 15775:2022, Anhang G für 5 und 9 Stufen

$g^* = 100 [\Delta L^*_{min}] / [\Delta L^*_{max}]$ ,  $L^*_{CIELAB} = 116 [Y/Y_n]^{1/3} - 16$  mit  $Y >= 0.882$ ,  $Y_n=100$

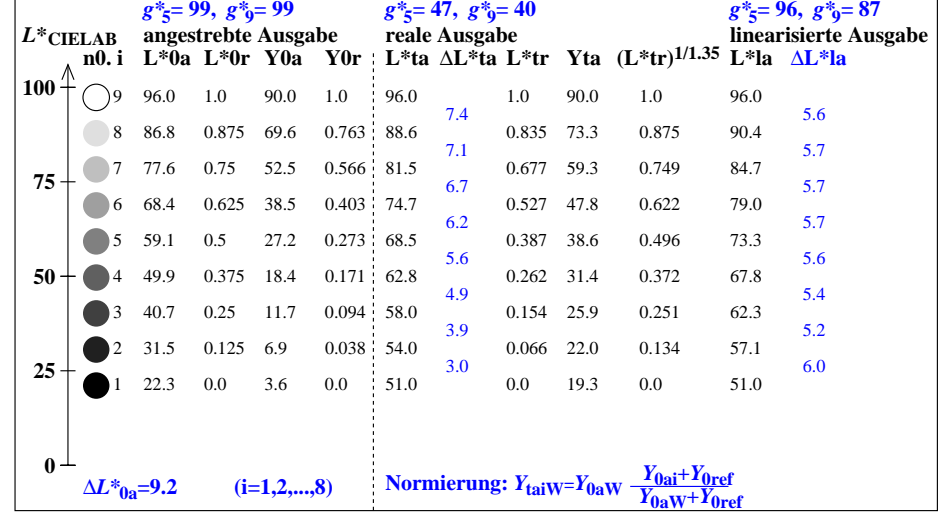


9stufige Grauskalierung zwischen  $L^*_{0aN}=22.3$  und  $L^*_{0aW}=95.9$ ,  $Y_{0ref}=20.0$ , Normierung Weiß W

$L^*_{0aN}=22.3$ ,  $L^*_{0aU}=59.1$ ,  $L^*_{0aW}=96.0$ ,  $Y_{0aN}=3.6$ ,  $Y_{0aU}=27.2$ ,  $Y_{0aW}=90.0$ ,  $C_{0aY}=Y_{0aW}:Y_{0aN}=25.0$   
 $L^*_{taN}=51.0$ ,  $L^*_{taU}=68.5$ ,  $L^*_{taW}=96.0$ ,  $Y_{taN}=19.3$ ,  $Y_{taU}=38.6$ ,  $Y_{taW}=90.0$ ,  $C_{taY}=Y_{taW}:Y_{taN}=4.7$

Regularitätsindex nach ISO/IEC 15775:2022, Anhang G für 5 und 9 Stufen

$g^* = 100 [\Delta L^*_{min}] / [\Delta L^*_{max}]$ ,  $L^*_{CIELAB} = 116 [Y/Y_n]^{1/3} - 16$  mit  $Y >= 0.882$ ,  $Y_n=100$



egg00-3n

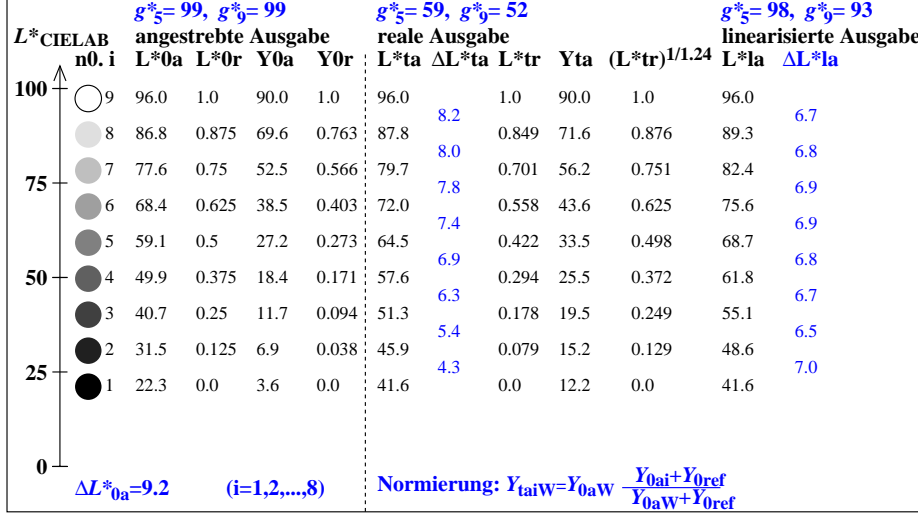
egg01-3n

9stufige Grauskalierung zwischen  $L^*_{0aN}=22.3$  und  $L^*_{0aW}=95.9$ ,  $Y_{0ref}=10.0$ , Normierung Weiß W

$L^*_{0aN}=22.3$ ,  $L^*_{0aU}=59.1$ ,  $L^*_{0aW}=96.0$ ,  $Y_{0aN}=3.6$ ,  $Y_{0aU}=27.2$ ,  $Y_{0aW}=90.0$ ,  $C_{0aY}=Y_{0aW}:Y_{0aN}=25.0$   
 $L^*_{taN}=41.6$ ,  $L^*_{taU}=64.5$ ,  $L^*_{taW}=96.0$ ,  $Y_{taN}=12.2$ ,  $Y_{taU}=33.5$ ,  $Y_{taW}=90.0$ ,  $C_{taY}=Y_{taW}:Y_{taN}=7.3$

Regularitätsindex nach ISO/IEC 15775:2022, Anhang G für 5 und 9 Stufen

$g^* = 100 [\Delta L^*_{min}] / [\Delta L^*_{max}]$ ,  $L^*_{CIELAB} = 116 [Y/Y_n]^{1/3} - 16$  mit  $Y >= 0.882$ ,  $Y_n=100$



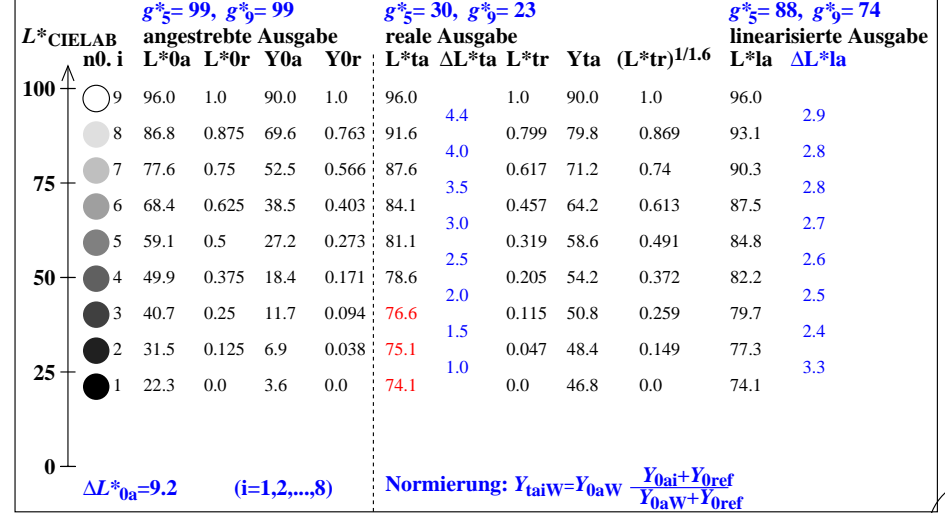
egg00-7n

9stufige Grauskalierung zwischen  $L^*_{0aN}=22.3$  und  $L^*_{0aW}=95.9$ ,  $Y_{0ref}=90.0$ , Normierung Weiß W

$L^*_{0aN}=22.3$ ,  $L^*_{0aU}=59.1$ ,  $L^*_{0aW}=96.0$ ,  $Y_{0aN}=3.6$ ,  $Y_{0aU}=27.2$ ,  $Y_{0aW}=90.0$ ,  $C_{0aY}=Y_{0aW}:Y_{0aN}=25.0$   
 $L^*_{taN}=74.1$ ,  $L^*_{taU}=81.1$ ,  $L^*_{taW}=96.0$ ,  $Y_{taN}=46.8$ ,  $Y_{taU}=58.6$ ,  $Y_{taW}=90.0$ ,  $C_{taY}=Y_{taW}:Y_{taN}=1.9$

Regularitätsindex nach ISO/IEC 15775:2022, Anhang G für 5 und 9 Stufen

$g^* = 100 [\Delta L^*_{min}] / [\Delta L^*_{max}]$ ,  $L^*_{CIELAB} = 116 [Y/Y_n]^{1/3} - 16$  mit  $Y >= 0.882$ ,  $Y_n=100$



egg01-7n

Siehe ähnliche Dateien der ganzen Serie: http://farbe.li.tu-berlin.de/eggs.htm  
Technische Information: http://farbe.li.tu-berlin.de oder http://color.li.tu-berlin.de

TUB-Registrierung: 20230701-egg0/egg010na.txt /ps  
Anwendung für Beurteilung und Messung von Display- oder Druck-Ausgabe  
TUB-Material: Code=rh4ta